

27

ИНСТИТУТ ЯДЕРНОЙ ФИЗИКИ
СО АН СССР

А.А.Жоленц, Н.И.Иноземцев, А.Б.Темных.

ХРОМАТИЧЕСКИЕ ЭФФЕКТЫ НА ВЭПП-4

ПРЕПРИНТ 83-44

НОВОСИБИРСК

А.А.Жоленц, Н.И.Иноземцев, А.Б.Темных

А Н Н О Т А Ц И Я

В работе проанализированы основные причины появления нелинейностей в зависимости бетатронных частот и декрементов радиационного затухания от равновесного импульса частиц в накопителе. Получены аналитические выражения для расчета этих нелинейностей. Результаты вычислений сравниваются с экспериментальными данными, полученными на накопителе ВЭШ-4.

Введение

В циклических ускорителях и накопителях при изменении частоты обращения частиц или равновесного импульса меняются частоты бетатронных колебаний. Рассчитанный в линейном приближении, этот эффект, называемый хроматизмом, обычно хорошо совпадает с экспериментальным наблюдением. Компенсируют хроматизм с помощью секступольных линз, фокусирующие силы которых зависят от положения равновесной орбиты в них. Расположение секступольных линз в кольце ускорителя и режим их включения выбирается таким образом, чтобы связанное с изменением равновесного импульса смещение орбиты в линзах приводило к появлению необходимой дополнительной фокусировки. Таким образом добиваются постоянства частот бетатронных колебаний частиц во всем диапазоне перестройки частоты обращения, что является оптимальным условием с точки зрения устранения некогерентных (синхробетатронные резонансы) и когерентных (*head-tail*) неустойчивостей.

Иное положение вещей складывалось на ВЭП-4. Измерения зависимостей бетатронных частот от частоты обращения, проведенные на ВЭП-4, показали, однако, наличие в них больших нелинейных компонент. Это вызывало определенные трудности при настройке установки, которые состояли в том, что нелинейности в зависимостях для горизонтальных и вертикальных бетатронных частот имели разные знаки. Поэтому, если, например, в некотором режиме в рабочей точке по частоте обращения занулялся как горизонтальный, так и вертикальный хроматизм, то уже при небольших смещениях частоты обращения в одну сторону мы попадали в область отрицательного вертикального хроматизма, а при смещениях в другую сторону – отрицательного горизонтального хроматизма. При токах пучка выше пороговых для *head-tail* неустойчивости это приводило к появлению либо вертикальной, либо горизонтальной неустойчивости и потери пучка. В результате, приходилось работать с заведомо более сильными, чем это требовалось, секступольными линзами в режимах, когда в рабочей точке по частоте обращения и всюду вблизи нее горизонтальный и вертикальный хроматизм были

положительными. Ситуация еще более усугублялась тем, что сама нелинейность в хроматизме менялась при попытках управлять линейным хроматизмом и зависела от режима включения секступольных линз и способа управления хроматизмом.

Цель настоящей работы дать объяснение наблюдаемым эффектам и выработать рекомендации по их устранению. Исходной посылкой в наших исследованиях было предположение, что нелинейность в зависимостях бетатронных частот от частоты обращения, которая хорошо описывается параболой, связана с нелинейными поправками к дисперсионной и бета-функциям накопителя. Считая, что эти поправки сравнительно невелики, мы находили их последовательными итерациями. Для того, чтобы не загромождать основной текст препримта, вывод необходимых формул для этих вычислений вынесен в приложение, где они получены при возможно более общих предположениях с тем, чтобы их можно было применить не только для наших целей, но и в других случаях, требующих более точного вычисления дисперсионной и бета-функций.

В разделе I препримта собственно и рассматривается, как возникает квадратичная нелинейность в зависимостях бетатронных частот от частоты обращения (равновесного импульса). Этой нелинейности здесь дано название – нелинейный хроматизм. На основании количественного анализа полученных формул показывается, что для ускорителей и накопителей с жесткой фокусировкой наибольший вклад в нелинейные поправки к дисперсионной и бета-функциям дают секступольные и октупольные линзы. Этим и объясняется экспериментально наблюдаемая зависимость нелинейного хроматизма от режима включения секступольных линз и способа управления обычным линейным хроматизмом.

В разделе 2 приводится сравнение результатов расчета нелинейного хроматизма с экспериментальными данными.

Возможные методы устранения нелинейного хроматизма обсуждаются в разделе 3.

Другое проявление влияния нелинейности дисперсионной функции на параметры пучка в накопителе было обнаружено при измерении зависимости декремента горизонтальных бетатронных колебаний от частоты обращения (равновесного импульса). Здесь вместо при-

вычной линейной характеристики была тоже обнаружена нелинейность. Теоретическому и экспериментальному изучению этого вопроса посвящены разделы 4,5.

Все эффекты, упомянутые выше, рассматриваются в настоящем препримте в приближении отсутствия связи бетатронных колебаний и вертикальной дисперсионной функции, то есть для циклических ускорителей и накопителей с равновесной орбитой частиц, лежащей в одной плоскости, магнитная структура которых не включает повернутых квадрупольных, секступольных, октупольных линз и соленоидов.

Остановимся кратко на системе обозначений, используемой ниже. Согласно общепринятому подходу, будем присваивать переменным индексы x или z , когда данная величина относится к горизонтальным или вертикальным колебаниям (направлению). Эти же переменные без индексов будут употребляться в том случае, когда выражения и формулы, в которые они входят одинаково справедливы и для горизонтальных и для вертикальных колебаний. Без индексов будем записывать переменные, обозначающие линейную и нелинейную дисперсионные функции, поскольку в нашем рассмотрении они всегда будут относиться только к горизонтальному направлению.

I. Нелинейный хроматизм (теория)

Представим частоты бетатронных колебаний частицы с неравновесным импульсом в виде:

$$\Delta\nu = C \delta + \chi \delta^2$$

Здесь $\Delta\nu$ – сдвиг частоты, $\delta = \Delta p/p$ – относительное изменение импульса частицы, C – обычный линейный хроматизм, χ – нелинейный (квадратичный) хроматизм. Для вывода формул, позволяющих вычислить C и χ , воспользуемся вариацией интеграла

$$\int = \frac{1}{2\pi} \oint \frac{dx}{p} \quad (I.1.)$$

определяющего частоту бетатронных колебаний ν через параметры орбиты. При вариации будем учитывать как изменение p бета-функции

$$\Delta p = \Delta p_1(\delta) + \Delta p_2(\delta^2) \quad (I.2)$$

так и изменение длины дуги траектории

$$ds = \{x'^2 + (1+kx)^2\}^{1/2} dx$$

Здесь x описывает горизонтальное смещение орбиты частиц с неравновесным импульсом. С точностью до квадратичных по $\frac{\Delta\psi}{\psi}$ членов x можно представить в виде:

$$x = \psi \delta + R \delta^2, \quad (I.3)$$

где ψ - обычная линейная дисперсионная функция Π , R - нелинейная (квадратичная) дисперсионная функция. В жесткофокусирующих ускорителях R - функция подчиняется уравнению (см. приложение А):

$$R'' + g_x R = \frac{1}{BR} \left(\frac{\partial B_z}{\partial x} \psi - \frac{1}{2} \frac{\partial^2 B_z}{\partial x^2} \psi^2 \right), \quad (I.4)$$

где $g_x = \frac{1}{BR} (KB_z + \frac{\partial B_z}{\partial x})$, K - кривизна, BR - жесткость, B_z , $\frac{\partial B_z}{\partial x}$, $\frac{\partial^2 B_z}{\partial x^2}$, $\frac{\partial^3 B_z}{\partial x^3}$ - компоненты разложения магнитного поля на равновесной орбите. Решение уравнения (I.4) при условии периодичности R - функции записывается:

$$R(s) = \frac{p_x(s)}{2 \sin \theta \gamma_x} \int_s^{s+\Pi} \frac{ds'}{BR} \left[\frac{\partial B_z}{\partial x} \psi - \frac{1}{2} \frac{\partial^2 B_z}{\partial x^2} \psi^2 \right] p_x(s') \cos [\chi s + \phi(s) - \phi(s')] \quad (I.5)$$

Здесь s - текущий азимут, Π - период магнитной структуры, ϕ_x - бетатронная фаза. Отметим, что определяющий вклад в величину R - функции дают сектупольные линзы.

В выражении (I.2) $\Delta\beta_1$ - описывает изменение β - функции в первом порядке по δ , $\Delta\beta_2$ - во втором. Воспользовавшись, как и в приложении А, для определения $\Delta\beta_1$, $\Delta\beta_2$ вспомогательными переменными ξ_1 , ξ_2

$$\Delta\beta_1 = 2p \xi_1 \delta, \quad \Delta\beta_2 = p (\xi_1^2 + 2\xi_2) \delta^2$$

и учитывая (I.3), представим вариацию интеграла (I.1) в виде:

$$\Delta\gamma = \frac{\delta}{2\pi} \oint \frac{\psi}{p} \left\{ \frac{\kappa\psi}{p} - 2\frac{\xi_1}{p} \right\} ds + \frac{\delta^2}{2\pi} \oint \left\{ \frac{\kappa\psi}{p} + \frac{5\xi_1^2}{p} + \frac{\psi'^2}{p} - \frac{2\kappa\xi_1}{p} - \frac{2\xi_2}{p} \right\} ds \quad (I.6)$$

Чтобы отсюда найти линейный и нелинейный хроматизм, нужно определить ξ_1 , ξ_2 . Алгоритм их вычисления подробно рассмотрен в приложении А. Здесь же только уточним значения величин ξ_1 , ξ_2 , μ_1 , μ_2 , $\Delta\beta_1$, $\Delta\beta_2$, входящих в выражения (П.10), (П.11). В случае, когда возмущение горизонтальной орбиты частиц задано выражением (I.3), эти величины равны:

$$\xi_1 = -2\kappa\psi\delta, \quad \xi_2 = (-2\kappa R - \psi'^2 + 3\kappa^2\psi^2)\delta^2$$

$$\mu_1 = -(\kappa\psi' + \kappa'\psi)\delta, \quad \mu_2 = (-\psi''\psi' - \kappa'R + 3\kappa\kappa'\psi^2 - \kappa\kappa' + 3\kappa^2\psi'^2)\delta^2 \quad (I.7)$$

$$\Delta\beta_1 = -\left(\frac{1}{BR} \frac{\partial B_z}{\partial x} - \frac{1}{BR} \frac{\partial^2 B_z}{\partial x^2} \psi \right) \delta = \Delta G_{1x} \delta$$

$$\begin{aligned} \Delta\beta_{1x} &= \left\{ \frac{1}{BR} \frac{\partial B_z}{\partial x} + \frac{1}{BR} \frac{\partial^2 B_z}{\partial x^2} (R-\psi) + \psi^2 \left[\left(\frac{1}{BR} \frac{\partial B_z}{\partial x} \right)^2 + \frac{1}{2} \frac{\partial^3 B_z}{\partial x^3} \right] \right\} \delta^2 = \Delta G_{2x} \delta^2 \\ \Delta\beta_{1z} &= \left(\frac{1}{BR} \frac{\partial B_z}{\partial x} - \frac{1}{BR} \frac{\partial^2 B_z}{\partial x^2} \psi \right) \delta = \Delta G_{1z} \delta \\ \Delta\beta_{2z} &= -\Delta G_{2x} \delta^2 = \Delta G_{2z} \delta^2 \end{aligned}$$

Здесь $\Delta\beta_1$, $\Delta\beta_2$ (изменение фокусировки в первом и втором порядке малости по δ на новой орбите по отношению к исходной орбите) записано для жесткофокусирующих ускорителей с учетом соотношений $\kappa B_z \ll \frac{\partial B_z}{\partial x}$, $\kappa \frac{\partial B_z}{\partial x} \ll \frac{\partial^2 B_z}{\partial x^2}$; символы ΔG_1 , ΔG_2 введены для сокращения записи последующих формул:

Подставляя (I.7) в (П.10), (П.11) получим:

$$\xi_1 = \frac{1}{4 \sin 2\pi v} \int_s^{s+\Pi} \frac{c_1}{p} \cos [\chi s + 2\phi(s) - 2\phi(s')] ds' \quad (I.8)$$

$$\xi_2 = \frac{1}{4 \sin 2\pi v} \int_s^{s+\Pi} \frac{ds'}{p} \left\{ (c_1 - \delta \kappa \psi) \xi_1 + (\kappa \psi + \kappa \psi') \frac{d\xi_1}{d\phi} + 6\xi_1^2 + 2\kappa \phi c_2 \right\} \cos [\chi s + 2\phi(s) - 2\phi(s')]$$

где $c_1 = \Delta G_1 \beta^2 + 2\kappa \psi (\beta - \delta \beta^2) - (\kappa \psi + \kappa \psi') \alpha \beta$

$$(I.9)$$

$$c_2 = \Delta G_2 \beta^2 + (2\kappa R + \psi'^2 - 5\kappa^2 \psi^2)(\beta - \delta \beta^2) + (-\psi''\psi' - \kappa'R - \kappa\kappa' + 3\kappa\kappa'\psi + 3\kappa^2\psi\psi') \alpha \beta$$

Заметим, что в случае периодических с периодом Π функций справедлива следующая запись:

$$\oint \frac{ds}{p} \int_s^{s+\Pi} \xi(s') \cos [\chi s + 2\phi(s) - 2\phi(s')] ds' = \sin 2\pi v \oint \xi(s) ds,$$

где $\phi(s) = \int_0^s \frac{ds}{p}$, $\xi(s)$ - любая функция, удовлетворяющая условию $\oint \xi(s) ds = \xi(s+\Pi)$. Поэтому, подставляя выражения (I.8), (I.9) в (I.6) и взяв соответствующие интегралы, получим:

$$\Delta\gamma = \frac{\delta}{4\pi} \oint Q_1 ds + \frac{\delta^2}{4\pi} \oint \left[(Q_1 + \frac{2\kappa\psi}{p}) \xi_1 - (\kappa\psi + \kappa\psi') \frac{d\xi_1}{d\phi} + Q_2 \right] ds,$$

где $Q_1 = \Delta G_1 \beta + (\kappa\psi + \kappa\psi') \alpha + 2\kappa g \beta \psi$

$$Q_2 = (\Delta G_2 + 2\kappa\psi \Delta G_1) \beta - 2(\kappa\psi' - g\psi\psi' - \kappa'R - \kappa\kappa' + \kappa\kappa'\psi^2 + \kappa^2\psi\psi') -$$

$$- \kappa^2\psi^2 \left(\frac{1}{p} - g\beta \right) + 2\kappa R g \beta + \psi' g \beta \quad (I.10)$$

Таким образом линейный и нелинейный хроматизм равны:

$$c = \frac{1}{4\pi} \oint Q_1 d\phi \quad (I.11)$$

$$\chi = \frac{1}{4\pi} \oint \left\{ \left(Q_1 + \frac{2k\psi}{\rho} \right) \xi_1 - \left(k\psi + k\psi' \right) \frac{d\xi_1}{d\phi} + Q_2 \right\} d\phi$$

Отметим, что в определение нелинейного хроматизма входят квадратичные по $\frac{\delta}{\rho}$ поправки к дисперсионной функции накопителя и линейные по $\frac{\delta}{\rho}$ поправки к ρ -функции, а также квадратичная и кубичная нелинейности.

Сравнительный анализ вклада различных членов в (I.10), (I.11) в общую сумму аналитическими методами для жесткофокусирующих ускорителей довольно сложен. Поэтому, чтобы выделить основные члены, на примере магнитной структуры ВЭШ-4 были проделаны численные расчеты, которые показали, что для расчета линейного и нелинейного хроматизма с 98% точностью можно пользоваться выражениями:

$$c = \frac{1}{4\pi} \oint \Delta G_1 \rho d\phi$$

$$\chi = \frac{1}{4\pi} \oint (\Delta G_1 \xi_1 + \Delta G_2 \rho + \psi'^2 \delta \rho) d\phi$$

где

$$\xi_1 = \frac{1}{4\pi m^2 \nu} \int_s^{s+\pi} \Delta G_1 \rho \cos [\psi(s) + 2\phi(s) - 2\phi(s')] ds'$$

2. Нелинейный хроматизм (эксперимент)

Как было показано выше, нелинейный хроматизм обязан своим происхождением наряду с нелинейностями ведущего магнитного поля, нелинейностям в дисперсионной и ρ -функциях накопителя. Поэтому, в первую очередь нам интересно было узнать реальные величины этих нелинейностей. Для этого на накопителе ВЭШ-4 было проведено измерение ρ -функции. С помощью системы пикап-станций изменилось положение равновесной орбиты пучка электронов в зависимости от $\frac{\Delta\rho}{\rho}$ или, как это делалось в наших экспериментах, от частоты обращения ξ , поскольку $\frac{\Delta\rho}{\rho} = -\frac{1}{\omega} \frac{d\xi}{\xi}$, где ω - коэф-

фициент уплотнения орбит, $\frac{\Delta\xi}{\xi}$ - смещение частоты обращения. Данные по каждому пикапу запоминались и аппроксимировались полиномом второй степени (см. рис. I)

$$a_i + \psi_i \frac{\Delta\rho}{\rho} + \rho_i \left(\frac{\Delta\rho}{\rho} \right)^2, \quad (I.13)$$

в котором коэффициенты ψ_i и ρ_i , согласно определению равнялись значениям линейной и нелинейной дисперсионных функций в месте расположения i -го пикапа, а коэффициент a_i являлся подгоночным параметром. Точность измерения ψ и ρ -функции таким методом составляла $\Delta\psi/\psi = 5\%$ и $\Delta\rho/\rho = 20\%$. По сумме данных от различных пикапов можно было судить о ψ и ρ -функциях во всем кольце накопителя. Типичная ρ -функция, измеренная на ВЭШ-4, показана точками на рис. 2. Как это видно из графика, в ρ -функции существенно подчеркнута гармоника, соответствующая ближайшему целому резонансу (для ВЭШ-4 это 9-я гармоника). То же самое заключение можно сделать из анализа формулы (I.5). Расчетное значение ρ -функции представлено на этом же рисунке сплошной линией. Сравнение демонстрирует хорошее совпадение расчетных и реально измеренных величин.

Провести аналогичные измерения зависимости ρ -функций от $\frac{\Delta\rho}{\rho}$ на накопителе оказалось невозможным из-за недостаточной точности измерения ρ -функций, сравнимой с ожидаемым эффектом $\Delta\rho/\rho \approx 20\%$. Поэтому, на рис. 3а показаны только расчетные значения величины $\frac{\Delta\rho}{\rho} / \frac{\Delta\rho}{\rho}$.

Зависимость частоты горизонтальных бетатронных колебаний от $\frac{\Delta\rho}{\rho}$ (хроматизм), измеренная на ВЭШ-4, показана на рис. 4. Все три графика, представленные на этом рисунке были сняты в режимах с одними и теми же нелинейностями магнитного поля и различаются только значением горизонтальной бетатронной частоты при $\frac{\Delta\rho}{\rho} = 0$. (Рис. 4а $\nu_x = 9,28$, рис. 4б $\nu_x = 9,14$, рис. 4в $\nu_x = 9,08$). Это было сделано с целью продемонстрировать вклад в нелинейный хроматизм, который дают нелинейности в дисперсионной и ρ -функциях накопителя. Поскольку, как это следует из формул (I.5), (I.8), эти нелинейности существенно возрастают с приближением частоты бетатронных колебаний к целому резонансу, то, соответственно, должен увеличиваться и их вклад в нелинейный хроматизм, что мы реально и наблюдали в эксперименте. Для определения численного значения нелинейного хроматизма по экспериментальным точкам по критерию χ^2 проводилась парабола (см. рис. 4).

$$\Delta\psi = \Delta\psi_0 + C \frac{\Delta p}{p} + \chi \left(\frac{\Delta p}{p}\right)^2$$

в которой коэффициенты C и χ как раз и равнялись линейному и нелинейному хроматизму, а коэффициент $\Delta\psi_0$ являлся подгоночным параметром. Полученные результаты приведены в Таблице I. Здесь же указаны результаты расчетов нелинейного хроматизма по формулам (I.10), (I.11) и значения частоты горизонтальных бетатронных колебаний.

Таблица I

	Рис.4а	Рис.4б	Рис.4в	Примечание
λ_x	9,28	9,14	9,08	
$\chi_{изм.}$	390 ± 23	436 ± 65	828 ± 53	измерение
$\chi_{расч.}$	420	440	810	расчет

3. Коррекция нелинейного хроматизма

Обсудим вкратце возможные способы компенсации нелинейного хроматизма. Поскольку определяющую роль в этом эффекте играют нелинейности в дисперсионной и бета-функциях, то наиболее простой способ компенсации основан на их уменьшении. Рабочим инструментом в ускорителях и накопителях для этих целей могут быть секступольные линзы, так как они наиболее активно воздействуют как на R -функцию, так и на $\Delta\psi_\perp$ -функцию.

Задача коррекции R -функции внешне очень похожа на задачу коррекции равновесной орбиты. В обоих случаях системой корректоров (у нас это секступольные линзы) требуется зацентрировать некоторую величину (в данном случае это R -функция) в местах наблюдения. Естественно, для решения этой задачи подходит все многообразие методов, развитых для коррекции равновесной орбиты. Однако на практике может оказаться вполне достаточным применить самый простой из них – устранение резонансной гармоники, что может быть сделано одной (двумя) секступольными линзами, расположенными в определенных местах по фазе горизонтальных бетатронных колебаний. Пример такой коррекции показан на рис.5. Здесь цифрой 1 отмечена исходная R -функция, а цифрой 2 – R -функция, полученная после коррекции с использованием двух секступольных линз.

В равной степени все сказанное выше относится и к коррекции $\Delta\psi_\perp$ -функции. Единственное отличие здесь состоит в том, что резонансная гармоника у $\Delta\psi_\perp$ -функции вдвое выше резонансной гармоники R -функции. Пример коррекции $\Delta\psi_\perp$ -функции на ВЭП-4 с помощью секступольной линзы показан на рис.3. Рис.3а – исходная $\Delta\psi_\perp / \left(\frac{\Delta p}{p}\right)^{-1}$ -функция, рис.3б – результат коррекции.

Практическое решение задачи компенсации большого нелинейного хроматизма на накопителе ВЭП-4 было осуществлено другим путем. Во-первых, был сделан переход от магнитной структуры с большими биениями бета-функции в экспериментальном промежутке к более "гладкой" структуре, что позволило ослабить секступольные коррекции вследствие уменьшения естественного линейного хроматизма. Во-вторых, рабочая точка по частотам бетатронных колебаний была смешена как можно дальше от целых резонансов в район параметрических резонансов, что значительно уменьшило вклад резонансной гармоники в R -функцию. В сумме два этих действия позволили получить уже приемлемый уровень нелинейности в хроматизме $\chi = 146$.

4. Нелинейная зависимость декрементов радиационного затухания от импульса (теория)

Измерения зависимости декрементов радиационного затухания на ВЭП-4 от равновесного импульса частиц в накопителе обнаружили в этой зависимости заметную нелинейность, которая, как будет показано ниже, в значительной степени объясняется нелинейностью дисперсионной функции накопителя.

Запишем выражения для безразмерных декрементов радиационного затухания в виде /I/:

$$G_z = \frac{1}{B_z^2} \langle B_z^2 \rangle \quad (4.1)$$

$$G_x = \frac{1}{B_z^2} \langle B_z^2 \cdot \frac{B_z}{B_R} \psi - 2B_z \frac{\partial B_z}{\partial x} \psi \rangle \quad (4.2)$$

$$G_s = 3G_z - G_x ,$$

где величины G_z , G_x , G_s обозначают соответственно декременты вертикальных, горизонтальных и продольных колебаний, B_z , $\frac{\partial B_z}{\partial x}$ – поле и градиент магнитного поля, B_R – жесткость, \bar{B}_z – среднее магнитное поле, R – средний радиус кривизны, скобки $\langle \dots \rangle$ – усреднение по периметру накопителя. Так как при изменении равновесного импульса частиц $\xi = \frac{\Delta p}{p}$ происходит смещение

положения равновесной орбиты по закону

$$x = \psi \delta + R \delta^2,$$

где ψ - линейная, R - квадратичная дисперсионная функция, то вследствие зависимости B_z и $\frac{\partial B_z}{\partial x}$ от x

$$B_z = B_{z0} \left| + \frac{\partial B_z}{\partial x} \right|_0 x + \frac{1}{2} \frac{\partial^2 B_z}{\partial x^2} \Big|_0 x^2 = B_{z0} \left| + \frac{\partial B_z}{\partial x} \right|_0 \psi \delta + \left(R \frac{\partial B_z}{\partial x} \Big|_0 + \frac{1}{2} \frac{\partial^2 B_z}{\partial x^2} \Big|_0 \psi^2 \right) \delta^2 \quad (4.3)$$

$$\frac{\partial B_z}{\partial x} = \frac{\partial B_z}{\partial x} \Big|_0 + \frac{\partial^2 B_z}{\partial x^2} \Big|_0 \cdot x = \frac{\partial B_z}{\partial x} \Big|_0 + \frac{\partial^2 B_z}{\partial x^2} \Big|_0 \psi \delta + \frac{\partial^2 B_z}{\partial x^2} \Big|_0 R \delta^2$$

возникает зависимость декрементов от δ . В (4.3) $B_{z0} \Big|_0$, $\frac{\partial B_z}{\partial x} \Big|_0$, $\frac{\partial^2 B_z}{\partial x^2} \Big|_0$ являются компонентами разложения магнитного поля на равновесной орбите. В дальнейшем в их записи мы будем опускать индекс 0 и вертикальные черточки. Подставляя (4.3) в (4.1), (4.2), нетрудно найти изменения декрементов, зависящие от δ . Мы сделаем это для случая жесткофокусирующего ускорителя, когда выполняются условия: $\langle B_z \frac{\partial B_z}{\partial x} \psi \rangle \sim B_z^2$, $\langle \left(\frac{\partial B_z}{\partial x} \right)^2 \psi^2 \rangle \gg B_z^2$, $\psi \ll R$. В итоге будем иметь:

$$\Delta G_x = a_x \delta + b_x \delta^2 \quad (4.4)$$

$$\Delta G_y = a_y \delta + b_y \delta^2 \quad (4.5)$$

$$\Delta G_z = 3 \Delta G_x - \Delta G_y,$$

где ΔG_x , ΔG_y , ΔG_z - изменения декрементов, а коэффициенты перед δ и δ^2 равны:

$$a_x = 2 \left(\bar{B}_z \right)^2 \langle B_z \frac{\partial B_z}{\partial x} \psi \rangle \quad (4.6)$$

$$a_y = -2 \left(\bar{B}_z \right)^2 \langle \left(\frac{\partial B_z}{\partial x} \right)^2 \psi^2 + B_z \frac{\partial^2 B_z}{\partial x^2} \psi^2 - B_z \frac{\partial B_z}{\partial x} R \rangle$$

$$b_x = \left(\bar{B}_z \right)^2 \langle 2 B_z \frac{\partial B_z}{\partial x} \psi + \left(\frac{\partial B_z}{\partial x} \right)^2 \psi^2 + B_z \frac{\partial^2 B_z}{\partial x^2} \psi^2 \rangle$$

$$b_y = \left(\bar{B}_z \right)^2 \langle -6 \left(\frac{\partial B_z}{\partial x} \right)^2 \psi^2 + \left(\frac{\partial B_z}{\partial x} \right)^2 \psi^2 - 5 \frac{\partial B_z}{\partial x} \frac{\partial^2 B_z}{\partial x^2} \psi^3 + B_z \frac{\partial^2 B_z}{\partial x^2} \psi^2 - \frac{5}{2} \frac{B_z^2}{R^2} \frac{\partial^2 B_z}{\partial x^2} \psi^3 - 6 B_z \frac{\partial^2 B_z}{\partial x^2} \psi^2 \rangle$$

В большинстве практических случаев, как показали конкретные расчеты для ВЭШ-4, при вычислениях a_x и b_x вместо (4.6) можно пользоваться более простыми выражениями:

$$a_x = -\frac{2}{\bar{B}_z^2} \langle \left(\frac{\partial B_z}{\partial x} \right)^2 \psi^2 - B_z \frac{\partial B_z}{\partial x} R \rangle$$

$$b_x \approx -\frac{6}{\bar{B}_z^2} \langle \left(\frac{\partial B_z}{\partial x} \right)^2 \psi^2 \rangle$$

Отметим, что в жесткофокусирующих ускорителях $|a_x| \ll |a_y|$ и $|\delta_x| \ll |\delta_y|$, в результате чего, при изменениях равновесного импульса частиц, обычно не превышающих $\delta = 0,01$, наблюдается только изменение горизонтального и продольного декремента затухания ($\Delta G_z = -\Delta G_x$), а $\Delta G_y \approx 0$.

Наличие в зависимости (4.5) достаточно большого, как мы увидим ниже, нелинейного члена открывает интересную возможность расширения области изменения равновесного импульса частиц, в которой присутствует одновременное затухание горизонтальных и продольных колебаний. Согласно известной теореме о сумме декрементов радиационного затухания /1/, всегда строго выполняется соотношение $G_x + G_y = 3 G_z$, поэтому, если потребовать одновременного затухания горизонтальных и продольных колебаний, то есть выполнения условия $G_x, G_y > 0$, то изменение декремента ΔG_x при смещениях равновесного импульса не должно превышать $3 G_z$. Это означает, что при учете в (4.5) только линейного по δ члена область изменения равновесного импульса частиц δ не может превышать величину

$$\delta = \frac{3 G_z}{a_x}$$

С учетом нелинейного члена, в принципе, становится возможным иметь

$$\delta = \frac{a_x}{b_x},$$

если $-\frac{a_x^2}{4 b_x} < 3 G_z$, или

$$\delta = \frac{a_x}{2 b_x} - \sqrt{\frac{a_x^2}{4 b_x^2} + \frac{3 G_z}{b_x}}$$

при $-\frac{a_x^2}{4 b_x} > 3 G_z$

5. Нелинейная зависимость декрементов радиационного затухания от импульса (эксперимент)

Для измерения времени радиационного затухания горизонтальных бетатронных колебаний использовалась схема, представленная на рис.6. Сигнал с генератора шума /1/ подавался на магнит /2/ с вертикальным направлением поля, который использовался для возбуждения некогерентных горизонтальных колебаний частиц пучка. Отсутствие когерентной моды колебаний, которая возможно могла бы оказывать заметное влияние на времена затухания, контролировалось по сигналу с пластин /3/. Ширина вертикальной щели диафрагмы /4/ была много меньше размера пучка. Поэтому, при совме-

щении щели с центром пучка, сигнал с ФЭУ [5] был пропорционален плотности частиц в центре. После прихода импульса от генератора [6] выключался шум и запускалась АЦП [7]. При этом за счет радиационного затухания амплитуда радиальных бетатронных колебаний уменьшалась и плотность частиц в центре ρ нарастала со временем t :

$$\rho(t) = \text{Const} \cdot (B e^{-t/\tau_x + \delta_x})^{-1}$$

Здесь B - константа, зависящая от силы шумовой раскачки, τ_x - время затухания горизонтальных бетатронных колебаний, δ_x - невозмущенный радиальный размер. Сигнал с ФЭУ запоминался АЦП. Последующая обработка сигнала позволяла находить τ_x . Эта же схема использовалась для измерения времени радиационного затухания вертикальных бетатронных колебаний τ_z . Для этого необходимо было лишь только повернуть магнит [2] и диафрагму [4] вокруг оси на угол 90° . Отношение величин $\tau_z/\tau_x = \frac{G_z}{G_x}$ позволяло судить об относительной величине декремента горизонтальных бетатронных колебаний.

Описанной выше методикой, было проведено измерение $\frac{G_x}{G_z}$ при разных значениях равновесного импульса частиц в накопителе ВЭПП-4. По экспериментальным точкам по критерию χ^2 была проведена парабола:

$$G_x = G_{x_0} + a_x \left(\frac{\Delta p}{\rho} \right) + b_x \left(\frac{\Delta p}{\rho} \right)^2,$$

показанная графиком на рис.7. Экспериментальное значение коэффициента $b_x = -73610 \pm 9560$, определяющего величину нелинейности в зависимости декрементов радиационного затухания от импульса, хорошо совпало с результатами вычислений по формулам (4.6), в которых для b_x было получено: $b_x = -71520$.

Авторы выражают свою искреннюю признательность И.Я.Протопопову, Г.М.Тумайкину и Е.А.Переведенцеву за полезные обсуждения вопросов, затронутых в настоящей работе.

Приложение A

Расчет дисперсионной и ψ -функций накопителя с учетом нелинейности магнитного поля

A.1. Дисперсионная функция

Горизонтальное отклонение частицы от равновесной орбиты при изменении ее импульса с точностью до членов второго порядка описывается уравнением:

$$x'' + g_x x = k \delta - k \delta^2 + (g_x + k^2) x \delta - \left(\frac{1}{2} \varepsilon_x + k g_x \right) x^2 + k' x' + \frac{1}{2} x'^2 k \quad (\text{П.1})$$

Здесь $\delta = \frac{\Delta p}{p}$ - относительное изменение импульса, k - кривизна орбиты, g_x, ε_x - периодические с периодом магнитной структуры II. функции:

$$g_x = \frac{1}{B_L} \left(\frac{\partial B_z}{\partial x} + k B_z \right)$$

$$\varepsilon_x = \frac{1}{B_L} \left(\frac{\partial^2 B_z}{\partial x^2} + 2k \frac{\partial B_z}{\partial x} \right)$$

$$k = \frac{B_z}{B_L},$$

где B_L - жесткость, $B_z, \frac{\partial B_z}{\partial x}, \frac{\partial^2 B_z}{\partial x^2}$ - компоненты разложения магнитного поля на равновесной орбите. Частное периодическое решение (П.1) определяет орбиту x_0 для неравновесных по энергии частиц. Представим $x_0 \left(\frac{\Delta p}{p} \right)$ в виде:

$$x_0 = \psi \cdot \frac{\Delta p}{p} + R \left(\frac{\Delta p}{p} \right)^2,$$

где ψ - обычная линейная дисперсионная функция /1/, а R - интересующая нас к ней поправка - квадратичная дисперсионная функция. Из (П.1) для ψ и R - функций легко получить уравнения:

$$\psi'' + g_x \psi = k \quad (\text{П.2})$$

$$R'' + g_x R = -k + (g_x + k^2) \psi - \left(\frac{\varepsilon_x}{2} + k g_x \right) \psi^2 + k \psi \psi' + \frac{1}{2} k \psi'^2 \quad (\text{П.3})$$

Последовательное интегрирование (П.2) и (П.3) с учетом периодичности магнитной структуры дает:

$$\psi = \frac{p_x^{1/2}}{2 \pi i \omega_x} \sum_{s=0}^{S+P} K p_x^{1/2} \cos [\tau \psi_x + \phi(s) - \phi(s')] ds \quad (\text{П.4})$$

$$R = \frac{p_x^{1/2}}{2 \pi i \omega_x} \sum_{s=0}^{S+P} \left[-k + (g_x + k^2) \psi - \left(\frac{\varepsilon_x}{2} + k g_x \right) \psi^2 + k \psi \psi' + \frac{1}{2} k \psi'^2 \right] p_x^{1/2} \cos [\tau \psi_x + \phi(s) - \phi(s')] ds'$$

где β_x - бета-функция, $\phi_x = \int_0^s \frac{ds}{\beta_x}$ - бетатронная фаза,
 ν_x - частота горизонтальных бетатронных колебаний.

Наиболее простой вид линейная и квадратичная дисперсионные функции имеют в азимутально-симметричном ускорителе

$$\psi = \frac{\lambda}{k\nu_x^2} \quad (\text{см. также } /I/)$$

$$R = -\frac{\nu_x}{2k^4\nu_x^6}$$

В случае жесткофокусирующих ускорителей, где, как правило, $k\nu_x \ll \frac{\partial \nu_x}{\partial x}$ и $k \frac{\partial \nu_x}{\partial x} \ll \frac{\partial^2 \nu_x}{\partial x^2}$, можно вместо (II.4) пользоваться более простым выражением:

$$R(s) = \frac{\beta_x^{1/2}(s)}{2 \sin \nu_x} \int_s^{\infty} \left(\nu_x \psi - \frac{\nu_x}{2} \psi^2 \right) \beta_x^{1/2}(s') \cos [\nu_x s + \phi_x(s) - \phi_x(s')] ds'$$

A.2. Бета-функция

Найдем теперь поправки к бета-функциям ускорителя, возникающие при изменении положения горизонтальной орбиты частиц. Воспользуемся для этого уравнением для функций Флоке $\omega = \beta^{1/2}$ /I/.

$$\frac{d^2\omega}{dx^2} + g\omega - \frac{1}{\omega^3} = 0 \quad (\text{II.5})$$

Здесь ω_0 - элемент дуги равновесной орбиты. На новой орбите функция Флоке $\omega_1 = \omega + \Delta\omega$ будет описываться уравнением того же вида, но с ω_0 , замененным на элемент дуги новой орбиты $\omega_1 = \{x^2 + (1+k_x)^2\}^{1/2} \omega_0$, и g , замененным на $g + \Delta g$, где Δg учитывает изменение фокусировки на новой орбите

$$\frac{d^2\omega_1}{dx^2} + (g + \Delta g)\omega_1 - \frac{1}{\omega_1^3} = 0 \quad (\text{II.6})$$

Для того, чтобы выразить $\Delta\omega$ через функции и параметры исходной орбиты, перейдем в (II.6) от дифференцирования по dx к дифференцированию по $d\tau$

$$\frac{d^2}{d\tau^2} = \left(\frac{ds}{d\tau} \right)^2 \frac{d^2}{ds^2} + \frac{d^2s}{d\tau^2} \frac{d}{ds}$$

$$\left(\frac{ds}{d\tau} \right)^2 \approx 1 - 2k_x - x'^2 + 3k_x^2$$

$$\frac{d^2s}{d\tau^2} \approx -x''x' - x'x - k_xx' + 3k_xk_x^2 + 3k_x^2x'x''$$

Для упрощения записи последующих формул введем обозначения:

$$\left(\frac{ds}{d\tau} \right)^2 = 1 + \gamma; \quad \frac{d^2s}{d\tau^2} = \mu$$

Вычитая из уравнения (II.6) уравнение (II.5), найдем

$$\Delta\omega'' + \mu\Delta\omega' + \mu\omega^2 - \mu\gamma\omega' - \gamma g\omega + \gamma^2 g\omega + \Delta g\omega - \gamma\Delta g\omega + \Delta g\Delta\omega + \gamma \frac{1}{\omega^3} - \gamma^2 \frac{1}{\omega^3} + 3 \frac{\Delta\omega}{\omega^4} - 3\gamma \frac{\Delta\omega}{\omega^4} - 6 \frac{\Delta\omega^2}{\omega^5} + g\Delta\omega - \gamma g\Delta\omega = 0$$

Отсюда, переходя к новым переменным

$$\xi = \frac{\Delta\omega}{\omega} \quad \text{и} \quad \phi = \int_0^s \frac{ds}{\beta}$$

получим уравнение для ξ с точностью до членов второго порядка малости по переменным x, x' , входящим в Δg , μ , γ .

$$\frac{d^2\xi}{d\phi^2} + 4\xi = \mu(\Delta g - \mu \frac{d\xi}{d\phi} + \Delta g\xi - \gamma\Delta g) + \gamma(g\mu^2 + \Delta g\mu^2 - 1 + g\mu^2\xi + \frac{1}{\omega^3}) - \gamma^2(g\mu^2 - 1) - \Delta g\mu^2 - \Delta g\xi\mu^2 + \xi\mu^2$$

Здесь $\Delta g = -\omega\alpha'$.

Уравнение (II.7) будем решать последовательными итерациями. Представим для этого ξ в виде суммы решений первого и второго приближения: $\xi = \xi_1 + \xi_2$. Кроме того введем обозначения:

$\mu = \mu_1 + \mu_2$, $\gamma = \gamma_1 + \gamma_2$, $\Delta g = \Delta g_1 + \Delta g_2$, где индексом 1 отмечены величины первого порядка малости, входящие в μ , γ , Δg , а индексом 2 - второго порядка малости. Тогда для ξ_1 и ξ_2 получим уравнения:

$$\frac{d^2\xi_1}{d\phi^2} + 4\xi_1 = f_1 \quad (\text{II.8})$$

$$\frac{d^2\xi_2}{d\phi^2} + 4\xi_2 = (f_1 + 4\gamma_1)\xi_1 - \mu_1 \mu_2 \frac{d\xi_1}{d\phi} + 6\xi_1^2 - \gamma_1 f_1 + f_2 \quad (\text{II.9})$$

Здесь f_1 , f_2 - периодические функции:

$$f_1 = -\Delta g_1 \mu_1^2 - \gamma_1 + \gamma_1 g\mu_1^2 + \mu_1 \Delta g$$

$$f_2 = -\Delta g_2 \mu_2^2 - \gamma_2 + \gamma_2 g\mu_2^2 + \mu_2 \Delta g$$

Последовательно решая (II.8), (II.9), получим:

$$\xi_1 = \frac{1}{4 \sin 2\pi} \int_0^{\pi} \frac{\xi_1}{\phi} \cos [\gamma \pi v + 2\phi(s) - 2\phi(s')] ds' \quad (\text{II.10})$$

$$\xi_2 = \frac{1}{4\pi n 2\pi v} \int_{-\pi}^{\pi} \frac{1}{\rho} \left\{ (\dot{\xi}_1 + 4\xi_2) \dot{\xi}_2 - \rho \frac{d\xi_1}{d\rho} + \xi_1^2 - \xi_2 \dot{\xi}_1 + \xi_2 \right\} d\phi' \\ + \cos [4\pi v + 2\phi(\xi) - 2\phi(\xi')] d\phi'$$

Для того, чтобы из (П.10) и (П.11) найти Δp_1 , Δp_2 – изменения бета-функций в первом и втором приближении нужно воспользоваться следующими очевидными соотношениями:

$$\Delta p_1 = 2\rho \dot{\xi}_1 \quad (П.12)$$

$$\Delta p_2 = \rho (\xi_1^2 + 2\xi_2) \quad (П.13)$$

В случае азимутально-симметричного ускорителя (П.12), (П.13) преобразуются в выражения:

$$\Delta p_1 = -\frac{\rho^3 \Delta G_1}{2}$$

$$\Delta p_2 = -\frac{\rho^3 \Delta G_2}{2} + \frac{3}{8} \Delta G_1^2 \rho^6$$

Л и т е р а т у р а

I. A.A. Коломенский, A.N. Лебедев. "Теория циклических ускорителей", ФМ, М., 1962 г.

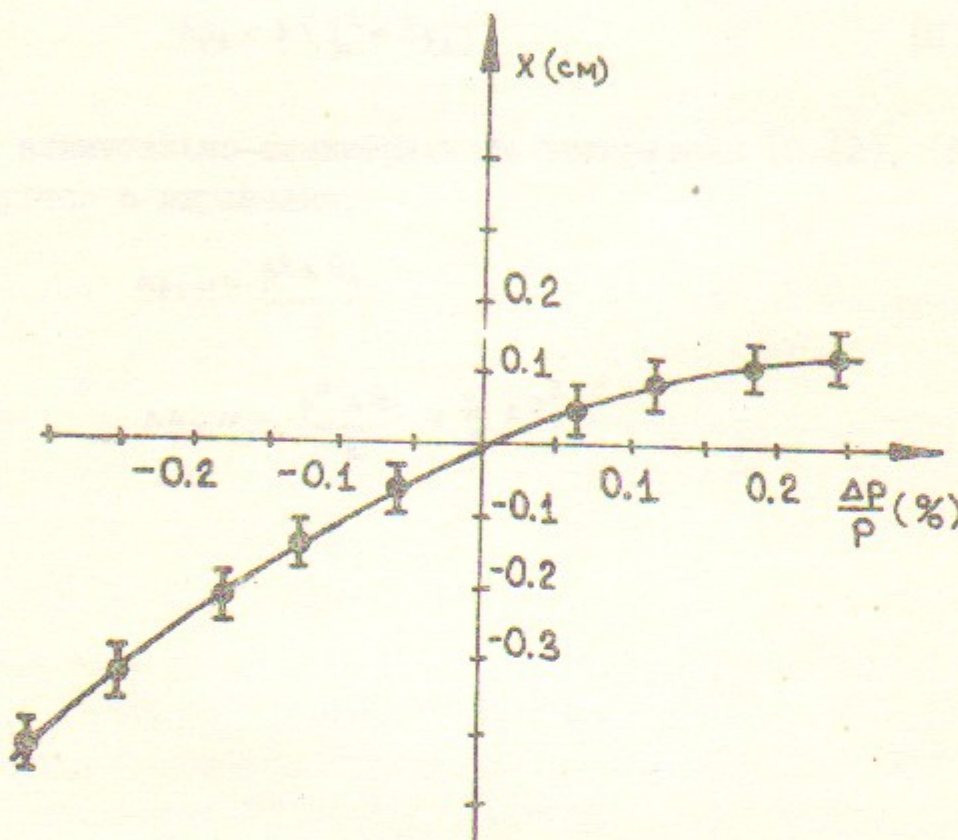


Рис.1. Положение рабочей орбиты в зависимости от $\frac{\Delta P}{P}$ на плакате.

20

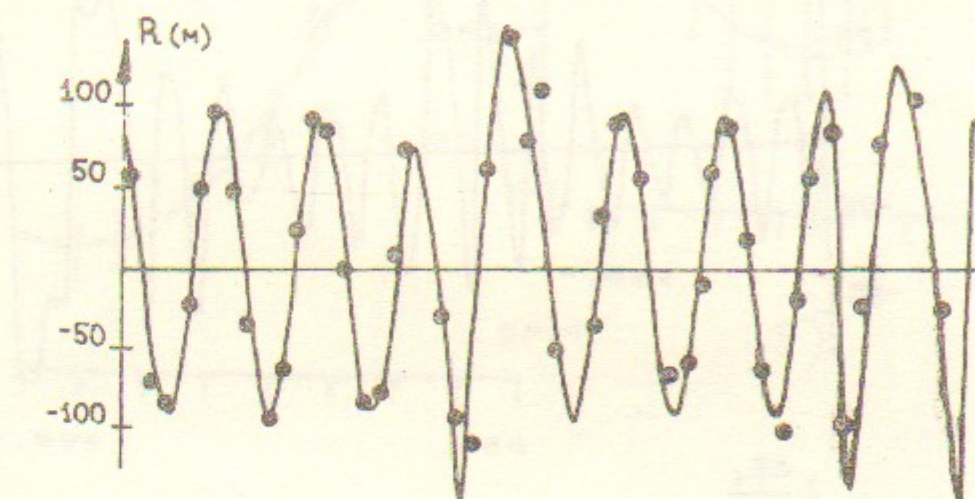


Рис.2 R -функция ВЭП-4. Сплошная линия - расчетная
 R -функция. Точками на ней отмечены результаты измерений. По оси абсцисс развернут периметр ВЭП-4.

21

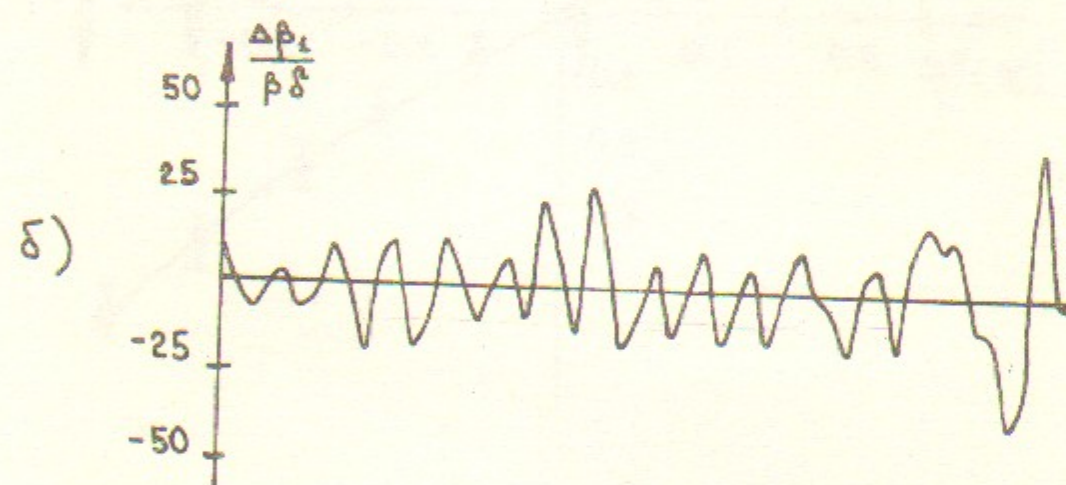
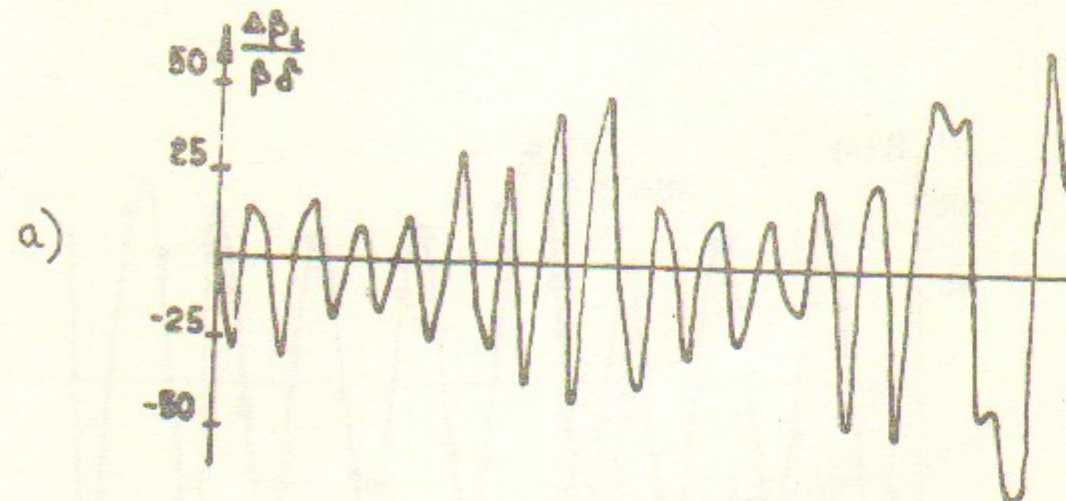


Рис.3 Расчетное значение $\frac{\Delta\beta_1}{P} / \frac{\Delta P}{P}$ -Функции ВЭШ-4.
Рис.3 а - исходная функция. Рис.3 б - результат коррекции . По оси абсцисс развернут периметр ВЭШ-4.

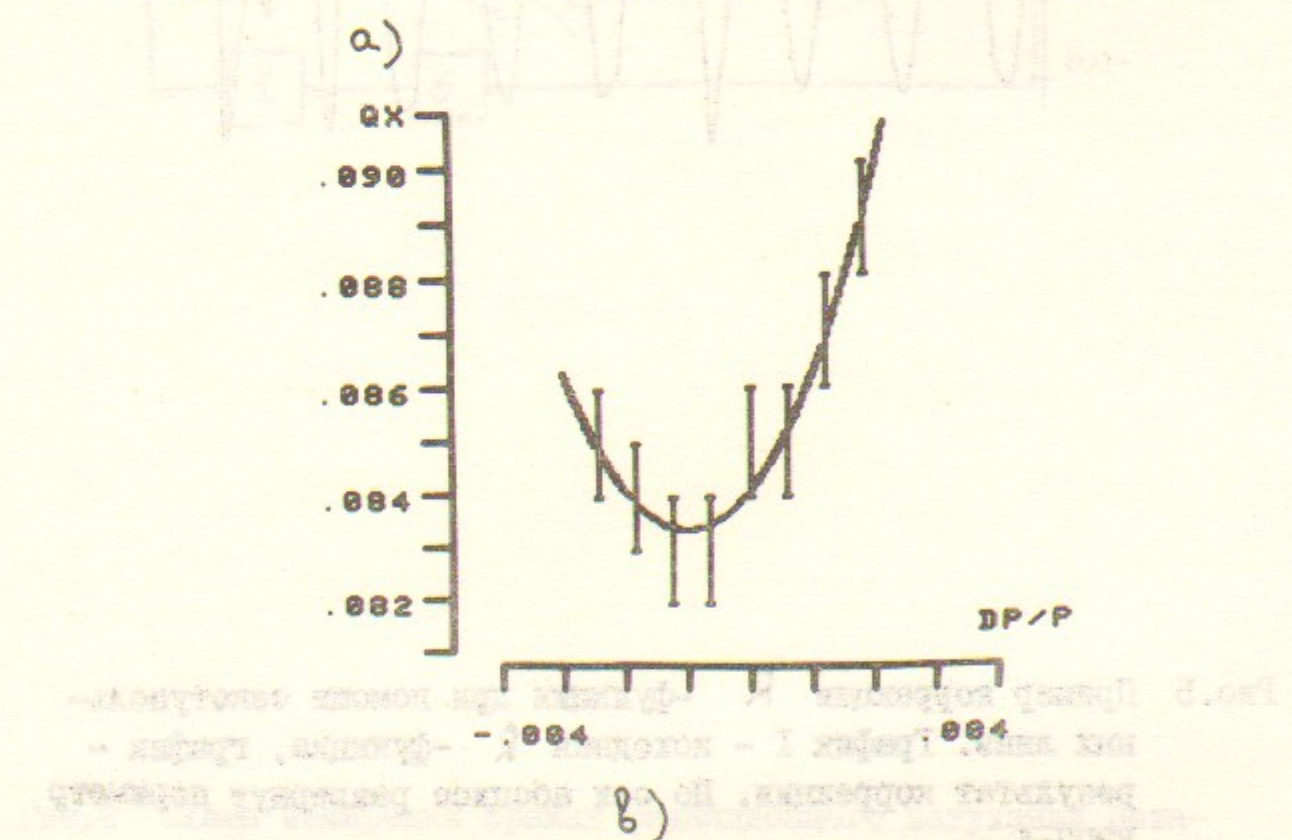
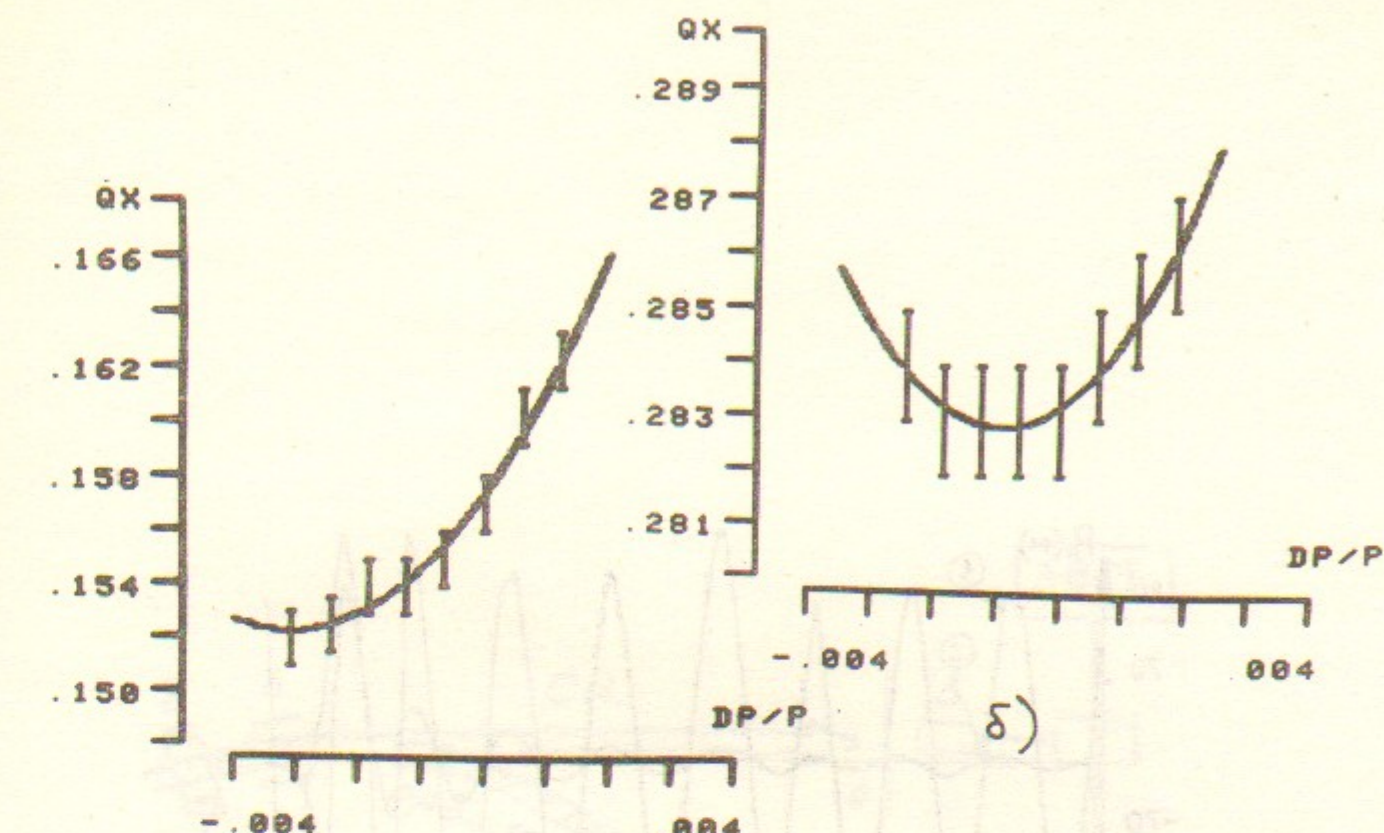


Рис.4 Зависимость частоты горизонтальных бетатронных колебаний от $\frac{\Delta P}{P}$ (хроматизм). Рис.4 а - $\nu_x = 9.28$, Рис. 4 б - $\nu_x = 9.14$, Рис.4 в - $\nu_x = 9.08$.

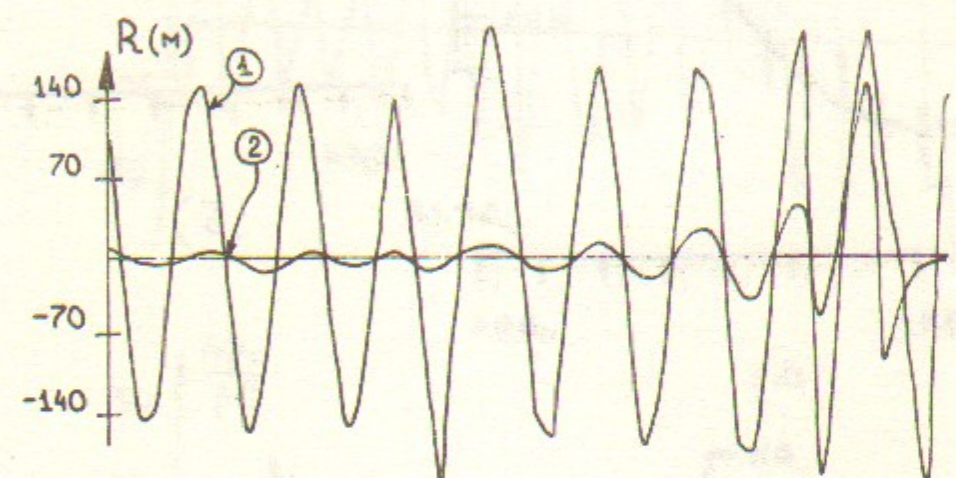


Рис.5 Пример коррекции R -функции при помощи секступольных линз. График 1 - исходная R -функция, график 2 - результат коррекции. По оси абсцисс развернут периметр ВЭШ-4.

24

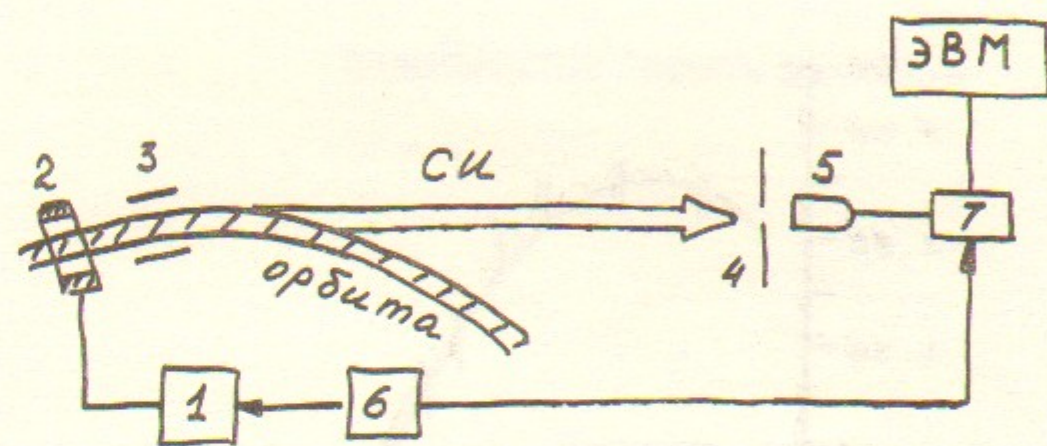
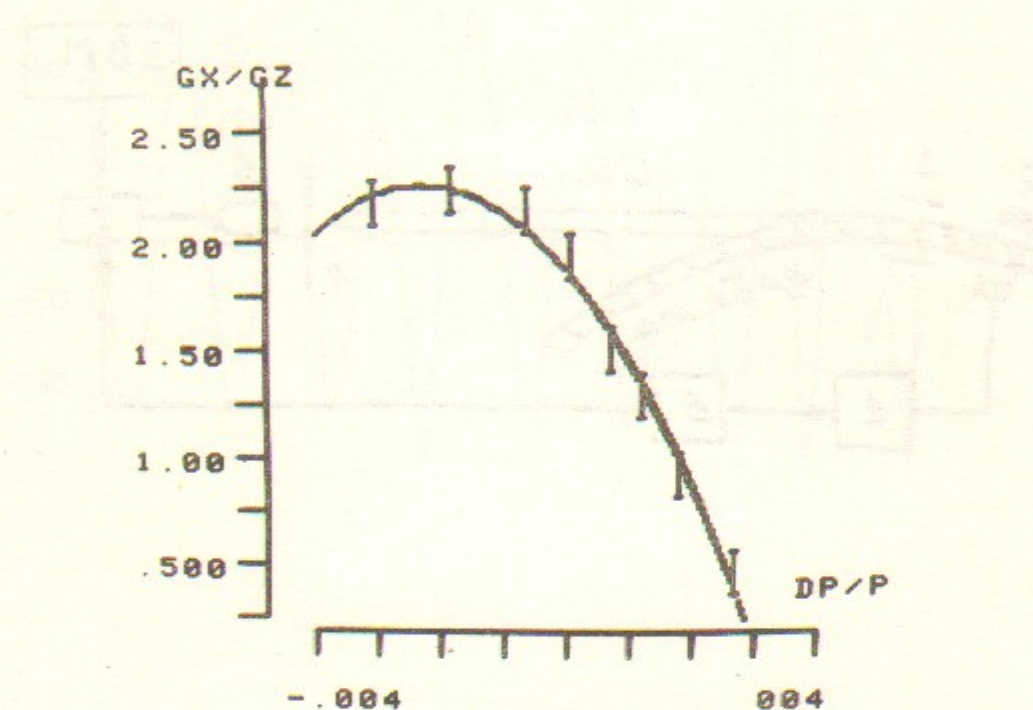


Рис.6 Схема измерения времен радиационного затухания бетатронных колебаний. 1 - генератор шума, 2 - магнит, 3 - пластины, 4 - диафрагма, 5 - ФЭУ, 6 - генератор импульсов, 7 - многоканальное АЦП.

25

А.А.Жоленц, Н.И.Иноземцев, А.Б.Темных



ХРОМАТИЧЕСКИЕ ЭФФЕКТЫ НА ВЭПП-4

Препринт
№ 83-44

Работа поступила - 18 марта 1983 г.

Ответственный за выпуск - С.Г.Попов
Подписано к печати 13.04.1983г. МН 17517
Формат бумаги 60x90 I/16 Усл.л.6 печ.л., л.3 учетно-изд.л.
Тираж 290 экз. Бесплатно. Заказ №44.

Ротапринт ИЯФ СО АН СССР, г.Новосибирск, 90

Рис.7 Относительная величина декремента горизонтальных бетатронных колебаний G_x/G_z в зависимости от $\frac{\Delta P}{P}$.